

O₃F₆

VI-46

1959

MF₆ (силовые постоянные)

M=Mo, W, Re, Os, Jr, Pt, U, Np, Pu

Claassen H.H.

J. Chem. Phys., 1959, 30, N 4, 968-972.

Силовые постоянные гексафторидов
металлов.

Есть ф. и.

Ви F6

RX, 1960, N5, 16586.

[Bcp - 810 - VI]

1960

O_5F_6

PtF_6

UK. energy

Magn. resonance

250-1000°K

Weinstock B., Claassen K.K.

Malm J.G.

J. Chem. Phys. 1960, 32, 181.

Kontinuierliche energetische O_5F_6 u

PtF_6 .

Ort. 6-50μ (UK, ras)

Parax - symm.

Yavuz O_5F_6 : 733(a_{1g}), 632(e_g), 720(f_{1u}), 268
(f_{1u}), 252(f_{2g}), 230(f_{2u}); PtF_6 : 655(a_{1g}),
601(e_g), 705 (f_{1u}), 273(f_{1u}), 242(f_{2g})
u 211(f_{2u})

тру паре, переносу ваканс. атомов си-
гнал OSF_6 осн. соединение. со час. близко 5
и временем симметрическим близк. соотн. с зонами -
зона 3500 cm^{-1} и отвечающие с зонами
 4300 cm^{-1} . Для PF_6 осн. соединение, близким. -
зона 3300 cm^{-1} и кратная
 5500 cm^{-1}

2017-VI .

1962

WF₆, ReF₆, OsF₆
IrF₆, PtF₆

(kol. post. struktura)

Goodman G.L., Weinstock B., Fred M.

Infernät. Sympos. Molec. Struct. and spec-
trosc. Tokyo, 1962, SI, B102/l-B102/2

Vibronic interactions in metal hexafluoride
molecules.

PJX, 1964, 13b133

J.

747

(XF₆, zgl X= S, Se, Te, Mo, U, 1963

Re, O₆, Ir, Pt, U, Np, Pu)

Pi (cubic n.m.)

Kimura ...; Kimura K.

J. molec. Spectrosc., 1963, 11, N 5,
368-377 ()

The mean - square amplitudes of ...

9P., 1964, 8D62

10

Богданов

2091-7
W_i (SF₆, SeF₆, TeF₆, MoF₆, WF₆,
UF₆, NpF₆, PuF₆, ReF₆, OsF₆, IrF₆,
PtF₆) 1963

Nagarajan G.

Bull. Soc. chim. belg., 1963, 72,
N 7-8, 537-559 (амл.)

Mean amplitudes of vibration of
some octahedral XY₆ type molecules

РХ., 1964, 7 Б 34

Есть оригинал.

3487-V1

~~1963~~

SF₆, SeF₆, TeF₆, MoF₆, WF₆, UF₆,

1963

RpF₆, PuF₆, ReF₆, OsF₆, IrF₆, PtF₆

(следы на^и, 9^и)

Nagarajan G.

Bull. Soc. chim. belg., 1963, 72,
N 3-4, 276-285 (ани.)

Potential field and force constants
of some octahedral XY₆ molecules

РХ., 1964, 4532

10

Есть оригинал

1

XY_6 , Z_6 (mol.post.)

A-893

1964

SF_6 , SeF_6 , TeF_6 , MoF_6 ,

FcF_6 , RuF_2 , RhF_6 , WF_6 , ReF_6 , OsF_6 , IrF_6 ,

PtF_6 , UF_6 , Np F_6 , RuF_6 (V, sil.post.)

Meisingseth E., Brunvoll J., Cyvin S.I.

Kgl.norske vid.selskabs skr, 1964, N7, 49.

Normal-coordinate analysis of rotation-vibration of octahedral XY_6 and Z_6 molecular models with application to 15XY_6 molecules.

RX., 1966, 13, 153 J

Диагностирован

6,8,7 в.

1965

A-544.

Sc, Ti, V, Cr, Y, Zr, Nb, Mo,

La, Hf, Ta, W, Ru, Rh, Pd, Re, Os, Ir,

Pt.

Mn, Fe, Co, Ni { 201 XMX - разн. ии.
иерии.

Запись О. Н. Демидова № 8

22. Сентябрь 1965 г(4)

579-30. Экспонат, бывший ранее

составлен в МХк. I. разносыров
некоторых земельного в сародрастных сороках.

МХ₂. - Диагностирован

J

CA, 1965, 63, N13, 17453h

4-544

VI-217 1965

SF_6 , SeF_6 , FeF_6 , PoF_6 , CrF_6 , MoF_6 ,
 WF_6 , UF_6 , TeF_6 , FeF_6 , NpF_6 , RuF_6 , XeF_6 , OsF_6 ,
 PuF_6 , RhF_6 , IrF_6 , PtF_6 (Vi)

Weinstock B., Goodman G.L.

Advan. Chem. Phys., 1965, 9, 169-316.

Vibrational properties of hexafluoride molecules.

CA, 1966, 64, N6, 7388g

10

1966

VI-4038

Ae (WF_6 , FeF_6 , OsF_6 , IrF_6 , PtF_6 ,
 AuF_6)

Bartlett N., Beaton S.P., Iha N.K.

Chem. Communs, 1966, N6, 168-69.

Oxiditing trends in the third-transition-
geries hexafluorides.

RX. 1966, 18B209.

J

1966

VI (CrF_6 , MoF_6 , OsF_6)

VI-4483

Hellberg K.H., Muller A.,
Glemser O.

Z. Naturforsch, 1966, 21b, N2, 118-21.

Das Infrarotspektrum von festem CrF_6 , MoF_6
und OsF_6 Bei tiefer Temperaturen.

RX., 1966, 196234

J,

F

V_i, curvilinear noes (S₂F₆, S₂F₆, TeF₆, MoF₆,
 VII 71 | WF₆, TC₂F₆, ReF₆, RuF₆,
 OsF₆, RhF₆, I₂F₆, PtF₆, UF₆,
 NpF₆, PuF₆)

Nagarajan G.

Indian J. Pure and Appl. Phys., 1966, 4, No.
 237-245 (Review)

Mean amplitudes of thermal motion
 and strengths of chemical bonds;
 activated lattice modes,

O.S.M. Thakur S.N., Rai D.K. 1866

J. Molec. Spectrosc., 19, 14, 341

Синтез
и изучение
свойств
и спектральных
свойств
новых
полигидрофуранов.

(Ку. № 8).

1988

OsF₆

Kinn H., Sander P. A.,
Claassen H. H.

VII

J. Mol. Spectrosc., 26, v1,
46-66

B99-4265-VI

Массспектральное исследование
новых синтетических
веществ

XF₆.



(ал. SF₆) III

L1868
cmyxaya (WF_6 , OsF_6 , T_2F_6 ,
 UF_6 , NpF_6 , PuF_6) V15380

Kimura M., Schomaker V., Smith D. W.,
Weinstock B.

J. Chem. Phys., 4268, 48, v9, 4001-4012

Electron-diffraction investigation
of the hexafluorides of tungsten,
osmium, iridium, uranium, neptunium
and plutonium.

Pub Xmas, 1963, 56100

40 9

SF₆, SeF₆, TeF₆, WF₆, ReF₆, OSF₆, IrF₆, PtF₆, 1968.

UF₆, NpF₆, PuF₆, PbCl₆, PdCl₆ (awi. neg.)

Venkateswarlu K., Devi V.M., VI 4853E2 3
6-

Curr. Sci., 1968, 37 (13), 370-L

Urey-Bradley force field of some
XY₆ systems 15
10

CB, 1968, 69, 114, 54442 p.

V_i , (WF_6 , ReF_6 , OsF_6 , IrF_6 , PtF_6) ¹⁹⁶⁹

Claassen H.H., Selig H. ^F 6

VI 69 85

Israel. J. Chem., 1969, 9, 14, 499-504
(part)

Raman spectra of 5d transition metal hexafluorides in the vapor state.

Received, 1970, 115-258

10

5

⑥

Van Min (ReFe, Tc Fe, OsFe, RuFe) 6 (1869)

Kiselevov A.A. VI 6355

J. Phys. (Proc. Phys. Soc.), 1969, 62, v2,
270-273 (accord).

On the Jahn-Teller effect in hexa-
plumbides

9

10

Acc. phys., 1969, 88296

OSF₆

1969

Merrall Y.N.

act. nocm.

J. Chem. Soc., 1969,

A, n^o 2, 297



[Act. Soc.] III

OSF_6 Kaiser E.W. et al. 1970
J. Chem. Phys. 1970,
53(4), 1411-12
Cp-pa

• $(\text{C}_{24} \text{ SF}_6)^{\underline{\text{III}}}$

~~HgF₆, CuF₆, ReF₆, OsF₆, UF₆, RhF₆, IrF₆,~~
Cs₂(ZrCl₆), K₂(OsCl₆), K₂(PtCl₆); TcF₆,
RuF₆, NpF₆, Cs(NbCl₆), Cs(TaCl₆);
K₂(ReCl₆), Cs₂(ReCl₆); Cs₂(NbCl₆); $\bar{v} = 629$;
Cs(PdCl₆); K₂(IrCl₆); K₂(PdCl₆); Cs₂(PtCl₆;
Cs(NeBr₆); Cs(TaBr₆); Cs(ReBr₆);
Cs₂(PdBr₆); K₂(PtBr₆) (v i, cт. и. н. о. с.)
Phan Dinh Quyen, Кобриков А. Г.,
тел. 744-21. Свердловск., 1971, 15, №,
81-35.

10 (cp)

С971

OsF₆

Thakur S.N., Miss, 1970
" gp.

cell. no. 1.

Indian J. Pure and
Appl. Phys.,

8, NY, 196

(cell. SF₆) III

40402.9018
TE, Ch

OSF₆

46505 02

1973
1969

Nagarajan G., Ad^mas T.S.

(*cis*, SF₆; III)

Shrinkages of the internuclear distances in some hexafluorides of octahedral symmetry. "Monatsh. Chem.", 1973, 104, N 6, 1607-1622

(англ.)

0075 777

056 058 100 8

ВИНИТИ

OSF_6^{h-}

1973

Cukier,
Cuk. Nier

Sawodny W., Bitar M.,

7th Int. Symp. Fluorine Chem.,

Santa Cruz, 1973, P-38.

(cuk. RuF_6^{h-} ; $\underline{\text{III}}$)

50411.9035

Ch, TC

48588

OSF₆

1974

3191.

Nagarajan G., Adams Th.S.

Root-mean-square amplitudes in some
hexafluorides of octahedral symmetry.

"Z. phys. Chem." (DDR), 1974, 255,

N 5, 869-888

(англ.)

(cav. SF₆; III)

0343 РУК

312 314

335

ВИНИТИ

ommunic 3659 1975

Q3 FG

Thirugnanasambandam P.
et al

cler. .
noem.

Bul. Soc. Chim. Belg. 1975,

84(10), 987 - 1003

C.A. 1976. 84 N6

Lip TC FG; III

O₃F₆ Ellis R.S., Rosen A. 1977

Z. Phys., 1977, A283, n¹,
3-10.

See. compres.
(y)



(acc. WF₆) III

STUER 5595

O₅F₆

ommuch 5595

1977

Ellis D.E. , et al.

Z. Phys., 1977, A283, NI, 3-10.

(y)

(crys. WF₆, \overline{m})

Ex US-18685

1977

OSFG

Pandey A.N., et al

Acta Phys. Polonica, 1977,
A51, N4, 475-85.

(cont.uos)

OS F6

1979

Раков И.И. и др.

Семейство
дромид.
стекр

(?)

11-е Всес. Чемпионат. собес.
по химии, машинам и механик.
шахтер. селе., Ленинград,
1979. Инг. горн. сл., 1979, 157.

—
авт. OS F6 — ~~157~~

OS F₆

1980

Bobru B. El., u sp.

Хаоргумас. Реколлес, 1980,
б, №10, 1580-89.

домодж.
спктр.

авт. Re F₆ - 6

OSFG ommuck
15749 ommuck 9988 1980
Bloor J. G. et al

y J. Am. Chem. Soc. 1980,
Ac 102(13), 4333-40
KB. exx.
paeret

●
Cee WFG ^j^{III}

OsF₆ Lummick 14444

1982

СИЛ.НОСТ., Chinnappan V.A; Natarajan A.,
спецификация A.,
авторы - Pramana J. Phys., 1982,
МУДРЫЙ 18, N 6, 501-509.
КОЛЕДА-
КЕРИ

O₈F₆

1982

1983: 98166e Some spectroscopic studies of osmium hexafluoride.
Michalopoulos, Daniel Laurence (Colorado State Univ., Fort Collins,
CO USA). 1982. 197 pp. (Eng). Avail. Univ. Microfilms Int., Order
No. DA8227934. From *Diss. Abstr. Int. B* 1983, 43(7), 2221.

(ChemP)

C. A. 1983, 98, N12.

OsF₆

on. 15483

1982

1982: 24958t Osmium hexafluoride energy levels and vibronic coupling in the $(d_{12g})^2$ configuration. Michalopoulos, Daniel L.; Bernstein, Elliot R. (Dep. Chem., Colorado State Univ., Fort Collins, CO 80523 USA). *Mol. Phys.* 1982, 47(1), 1-22 (Eng). Electronic and vibronic energy levels of the $(d_{12g})^2$ configuration of OsF₆ were studied using electronic Raman scattering and absorption spectroscopy. The ground state was identified as E_g (crystal field split by ~ 28 cm⁻¹) and the 1st excited state was T_{1g} with crystal energy levels at 14, 28, and 40 cm⁻¹. The 3 other regions of the spectrum obsd. were at 4000, 8000, and 17,000 cm⁻¹, covering the remaining $(d_{12g})^2$ configuration levels. The 4000 cm⁻¹ band consists of A_{1g} and T_{1g} electron states which do not interact strongly through vibronic coupling. The T_{1g} electronic state evidences a strong ($D \sim 2.2$) linear Jahn-Teller effect for ν_5 and an observable Jahn-Teller effect for ν_2 . The band at 8000 cm⁻¹ consists of E_g and T_{2g} electronic states; it is so complex and strongly coupled that little information can be extd. from the absorption data concerning the Jahn-Teller interaction in this 5-fold degenerate manifold. The feature at 17,000 cm⁻¹ is an A_{1g} electronic state and its elucidation follows normal behavior found in other hexafluoride spectra.

*Hepenius
yprofue*

C.A. 1983, 98, N.Y.

OsF₆

(от 15483)

1982

ЗБ182. Уровни энергии и вибронное взаимодействие в конфигурации $(d_{12d})^2$ OsF₆. OsF₆ energy levels and vibronic coupling in the $(d_{12d})^2$ configuration. Michaelopoulos Daniel L., Bernstein Elliot R. «Mol. Phys.», 1982, 47, № 1, 1—22 (англ.)

Измерены электронные спектры поглощения OsF₆ в матрицах MoF₆ или WF₆ (0,5—1% OsF₆) при T -рах 1,8; 4,2 и 77 К, а также спектры электронного КР (5—25% OsF₆) при 4,2 и 77 К. Отнесение спектров проводили на базе сравнения измеренных частот переходов с данными теор. расчетов. Установлено, что основным состоянием OsF₆ в конфигурации $(d_{12d})^2$ является состояние типа E_g (расщепление в кристаллич. поле ~ 28 см⁻¹), а 1-м возбужденным — типа T_{2g} (компоненты расщепления 14, 28 и 40 см⁻¹) с энергией, близкой к энергии E_g . В области 4000 см⁻¹ наблюдены переходы на состояния $A_{1g} + T_{1g}$ (A_{1g} несколько выше по энергии). Показано, что возбужденные состояния A_{1g} и T_{1g} не смешиваются посредством вибронного взаимодействия.

X. 1983, 19, N 8.

В состоянии T_{1g} проявляется сильный линейный эффект Яна — Теллера ($D \sim 2,2$) для колебания ν_5 и более слабый, но измеримый для ν_2 . Между ян-теллеровскими компонентами ν_4 и ν_5 обнаружено резонансное взаимодействие типа Ферми. В области $17\ 300\ \text{см}^{-1}$ наблюдены переходы на состояние A_{1g} , аналогичные переходам в других гексафторидах. В этой системе идентифицированы полосы, связанные с колебаниями ν_3 , ν_4 и ν_6 (расщепление в крист. поле $\sim 5\ \text{см}^{-1}$) и слабые полосы ν_1 . В области $8000\ \text{см}^{-1}$, где должны проявляться переходы на состояния $T_{2g} + E_g$, картина спектра сильно искажена за счёт вибронного взаимодействия. Отмечено, что отсутствие предсказанных начальных переходов не может быть объяснено только линейным (или квадратичным) эффектом Яна — Теллера.

С. Б. Осин

пай
спе

OsF_6^-

(Om. 17963) 1983

Gutsev G. L., Boldyrev
A. I.

Ae, J.

Chem. Phys. Lett.,

1983, 101, N 4-5, 441-445.



(c.c. $H_f F_6^-$; III^-)

O_3F_6^- (DM. 20078, 20927) 1984

Түнгизбеков Т. Н., Болатбайров А. З.

Электронн.
сструктура

Координаты. Журн.,
1984, 10, 6011. 11,
1455-1459.

D.S.F.6

[Om. 22 125]

1984

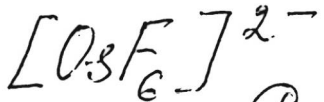
S'abapathy R.,
Ramasamy R.,

Indian J. Phys., 1984,
B58, N 4-5, 464-472.



(See. SF6; III)

Слд. поем.,
среднє
автентичні
коелебан.,
майданогаїв
членомів і
дешмбі св. зе.



1985

Рогачевич Н. П.,
Бобкова Е. И., к. фр.

и. н.

Докт. АН БССР, 1985, 29,
N 10, 906-909.

(см. $[RuF_6]^{2-}$; III)

DFT6

[Om. 29935]

1988

Holloway J.H., Stan-
ger G., et al.,

J. Chem. Soc. Dalton
Trans., 1988, N.S.,

● 1341-1345.

УФ виодин.
стекло
б
стаканы.

DsF₆

[om. 30899, a"]

1988

Сиргопов Н.Н., Коробов И.В. и др.,

(Ae)

Исследование
1988, 29, № 6, 51-57.

OsF₆

1989

(M 31483)

110: 160704a Gas-phase negative ions of platinum metal fluorides.
II. Electron affinity of platinum metal hexafluorides. Korobov,
M. V.; Kuznetsov, S. V.; Sidorov, L. N.; Shipachev, V. A.; Mit'kin,
V. N. (Dep. Chem., Moscow State Univ., 117234 Moscow, USSR).
Int. J. Mass Spectrom. Ion Processes 1989, 87(1), 13-27 (Eng).
Reactions of platinum metal hexafluoride neg. ions (e.g. OsF₆⁻ + PtF₆⁻ → PtF₅⁻ + OsF₆) were studied by Knudsen cell mass spectrometry. The electron affinities were measured for OsF₆ (5.93 ± 0.28 eV), IrF₆ (6.50 ± 0.38 eV), PtF₆ (7.00 ± 0.35 eV), and RuF₆ (6.47 ± 0.31 eV). The relevant data on electron affinities of platinum metal hexafluorides are discussed.

Kryzhan.
Mass spectra,
Ae

(43) ⊗

C.A. 1989, 110, N 18

PtF₆, PtF₅, RuF₆

OsF₆

от 31/4/83 1989

6 И19. Газофазные отрицательные ионы фторидов металлов группы платины. II. Электронное сродство гексафторидов металлов группы платины. Gas-phase negative ions of platinum metal fluorides. II. Electron affinity of platinum metal hexafluorides / Korobov M. V., Kuznetsov S. V., Sidorov L. N., Shipachev V. A., Mit'kin V. N. // Int. J. Mass Spectrom. and Ion Process.— 1989.— 87, № 1.— С. 13—27.— Англ.

С помощью масс-спектрометра с кнудсеновской ячейкой исследовалось равновесие молекул и отрицательных молекулярных ионов гексафторидов металлов группы платины. По измеренным константам равновесия определены относит. энталпии и рассчитаны энергии электронного сродства гексафторидов Os, Ir, Pt, Ru: $5,93 \pm 0,28$, $6,50 \pm 0,38$, $7,00 \pm 0,35$ и $6,47 \pm 0,31$ эВ соответственно. Проводится обсуждение известных из литературы данных по электронному сродству рассматриваемых соединений. Библ. 29. О. П. И.

(Аe)

(43)

cf. 1989, № 6 OsF₆, PtF₆, RuF₆

OsF_4

(DM 31484)

1989

Kuznetsov S.V., Korobov et.v.
et al.,

Ae Int. J. Mass Spectrom. and
Ion Process. 1989, 87, N1, 1-11.
Gas-Phase Negative Ions of
platinum metal Fluorides.
(cн. № 31484)

Electron Affinity of platinum
Metal Tetrafluorides.

08f6

1990

Енсов И. С.,

и.и.

Структура и Энергетика
макрокул. Продукт Всесоюз -
ного совещания по изучению
структур макрекул в 2030 -
ной фазе, ● Уланово, 1990.

D_3F_6 Brisdon A. K.,
Holliman P. J. et al. 1991

ll. n. J. Fluor. Chem. 1991.
54, N° 3. C. 142.

(cas. $\bullet MoF_6$; III)

DsF6

1991

Энсов М. С.,

Плэзисы доказов и Все-
согоджного Совещания по
квантовой химии,
Казань, 1991, 239.

O_3F_6

1997

Richardson A. D.,

From. Diss. Abstr.
raz. зеекто-
корпаков
супрекц.

Int., B 1997, 58(2),

724.

● WF_6 ; II)
(ceip.

OsF₆

1997

127: 182600s Absorption spectrum of the $f(A_{1g}) - X(E_g)$, $a(F_{2g})$ electronic transition of OsF₆. Rotger, M.; Boudon, V.; Selig, H. (Unite associee au CNRS, Laboratoire de Physique de l'Universite de Bourgogne, BP 400-21011 Dijon, Fr.). *Spectrochim. Acta, Part A* 1997, 53A(7), 991-994 (Eng), Elsevier. The absorption spectrum of the visible band of OsF₆ was recorded using a com. spectrophotometer. The 1st vibronic assignments for this band were realized using the analogy with the d-X transition of IrF₆. Some vibronic parameter values are derived.

$fA_{1g} \leftarrow XE_g$
 $a(F_{2g})$

C. A. 1997, 127, N 13

F: OsF₆

P: 3

133:50237 Gas-Phase Molecular Structures of Third
Row Transition-Metal Hexafluorides WF₆, ReF₆, OsF₆,
IrF₆, and PtF₆. An Electron-Diffraction an Initio Study.

Richardson, Alan D.; Hedberg, Kenneth; Lucier,
George M. Department of Chemistry, Oregon State

University Corvallis, OR 97331, USA Inorg.

Chem., 39(13), 2787-2793 (English) 2000 The mol.
structures of WF₆, ReF₆, OsF₆, IrF₆, and PtF₆ were
measured by electron diffraction from the gases, the
last from both PtF₆ itself and f a vapor assumed to
consist of a mixt. of O₂ and PtF₆ obtained by heating
salt O₂PtF₆. For models of Oh symmetry the bond lengths
in the 1st three members of the series are essentially
identical, but the Ir-F and Pt-F bo are resp. ~0.01 and
0.02 Å longer. Models of D_{4h} symmetry were also test
for ReF₆, OsF₆, and IrF₆ in which operation of the Jahn-

C.A 2000, 133

2000

Teller effect is thought possible. For these models the same trend was seen in the av. bo length values. The effect of three-atom multiple scattering was also studied, and exptl. ests. of the effects of vibrational averaging (shrink on the distances were obtained. Normal-coordinate analyses based on the obsd. wavenumbers yielded stretching force consts. consistent with the us inverse bond-length/force-const. relation. Ab initio MO optimizations of mols. constrained to Oh symmetry were carried out at several levels of th and basis-set size. Less extensive optimizations of ReF₆, OsF₆, and IrF₆ with D_{4h} symmetry were also carried out.

The best overall agreement with both the exptl. values and the distance trend for Oh symmetry was obtaine with the Hay-Wadt (n+1)VDZ basis on the metals and the aug-cc-pVTZ on the fluorines at the MP2 level, but these bases with B3P86 and B3PW91 d. functional theory were nearly as good and with B3LYP only slightly worse. The D_{4h} structures for ReF₆, OsF₆, and IrF₆ with the cited bases at the B level were slightly more stable (resp. 0.8, 2.6, and 1.4 kcal/mol) with t axial bonds shorter by ~0.04 Å in ReF₆ and 0.07 Å in OsF₆, but ~0.05 Å lo in IrF₆. The significance of these values is uncertain. The exptl. bond lengths (rg/Å) with estd. 2.sigma. uncertainties for the models of Oh symmetry are W-F = 1.829(2), Re-F = 1.829(2), Os-F = 1.828(2), Ir-F = 1.839(2), and Pt-F = 1.852(2); the Pt-F value from the O₂PtF₆ sample was 1.851(2) Å. Although the exptl. data neither confirm nor refute the existence of the Jahn-Teller effect in ReF₆, OsF₆, and IrF₆, they ensure if present the distortion from Oh symmetry must be small.